

HPLC法测定恩格列净有关物质的方法学验证

韩继永^{1,2},赵砚荣²,周学敏^{1*}

(¹南京医科大学药学院,江苏 南京 211166;²江苏奥赛康药业股份有限公司,江苏 南京 211112)

[摘要] 目的:建立恩格列净原料药纯度及所含杂质的测定方法。**方法:**采用高效液相色谱(HPLC)法,用 Waters symmetry C18 色谱柱(250 mm×4.6 mm,5 μm),以 0.01%(V/V)三氟乙酸溶液为流动相 A,乙腈为流动相 B,线性梯度洗脱:0~10 min,流动相 B 32%;10~50 min,流动相 B 32%~95%;检测波长 225 nm,流速 1.0 mL/min,柱温 45℃。**结果:**恩格列净与各杂质的分离度均>1.5,检出限均<9 ng/mL, 线性范围满足定量分析要求;重复性试验相对标准差(RSD)均<5%;供试品溶液和对照溶液在 8 h 内稳定性良好;各杂质的回收率为 88.6%~106.1%,RSD 均<10%。**结论:**本研究建立的方法检测灵敏度高,精密度好,可作为恩格列净原料药有关物质的控制方法。

[关键词] 恩格列净;有关物质;高效液相色谱法;测定

[中图分类号] R917

[文献标志码] B

[文章编号] 1007-4368(2017)01-0121-05

doi:10.7655/NYDXBNS20170130

Validation of HPLC method for the determination of related substances in empagliflozin

Han Jiyong^{1,2}, Zhao Yanrong², Zhou Xuemin^{1*}

(¹College of Pharmacy, NJMU, Nanjing 211166; ²Jiangsu Aosaikang Pharmaceutical CO., LTD, Nanjing 211112, China)

[Abstract] **Objective:** To establish a method for determination assay of empagliflozin and related substance. **Methods:** HPLC method was adopted. The determination was carried out on Waters symmetry C18 column(250 mm×4.6 mm,5 μm). The mobile phase A was 0.01%(V/V) trifluoroacetic acid solution, the mobile phase B was acetonitrile, linearity gradient elution was as follows:0~10 min, mobile B 32%;10~50min, mobile B 32%~95%, at a flow rate of 1.0 mL/min. The detective wavelength was set at 225 nm, and the column temperature was at 45℃. **Results:** The separation between empaliflozin and its related substances was not less than 1.5. The LOQ was less than 9 ng/mL, and linear range were suitable for determination. The RSD of repeatability was less than 5.0%. The test solution and reference solution had a good stability in 8 h, the recovery of the impurities was 88.6%~106.1%, and RSD was less than 10%. **Conclusion:** The method is sensitive and accurate, and is effective for quality control in empagliflozin.

[Key words] empagliflozin;relatedsubstance;HPLC;determination

[Acta Univ Med Nanjing, 2017, 37(01):-]

恩格列净(empagliflozin)由美国礼来公司和德国勃林格殷格翰公司合作研发,是钠-葡萄糖共转运蛋白 2(SGLT2)抑制药,用于改善 2 型糖尿病成年患者的血糖。化学名为:(1S)-1,5-脱水-1-C-(4-氯-3-((4-(((3S)-四氢-3-呋喃基)氧基)苯基)甲基)苯基)-D-葡萄糖醇。欧盟委员会于 2014 年 5 月 3 日首次批准上市,2014 年 8 月 1 日获得美国食品药品管理局(FDA)的批准,是 FDA

[基金项目] 国家自然科学基金(81572081)

*通信作者 (Corresponding author),E-mail:xueminzhou@njmu.edu.cn

继 2013 年 3 月 29 日批准强生制药公司的卡格列净(canagliflozin,Invokana) 和 2014 年 1 月 8 日批准阿斯利康公司的达格列净(dapagliflozin,Farxiga)之后,第 3 个具有抑制 SGLT 2 新作用机制的治疗糖尿病新药^[1-5]。经过文献检索,针对恩格列净有关物质检测方法的报道较少,截至投稿,国内外仅有 1 篇针对恩格列净片的有关物质检测方法公开发表^[6],但所述方法检测的杂质种类较少。根据本品的合成路线及文献报道的合成途径^[7-8],原料可能存在 A~L,共计 12 个已知杂质,化学结构式见图 1。本实验建立了恩格列净原料药中上述已知杂

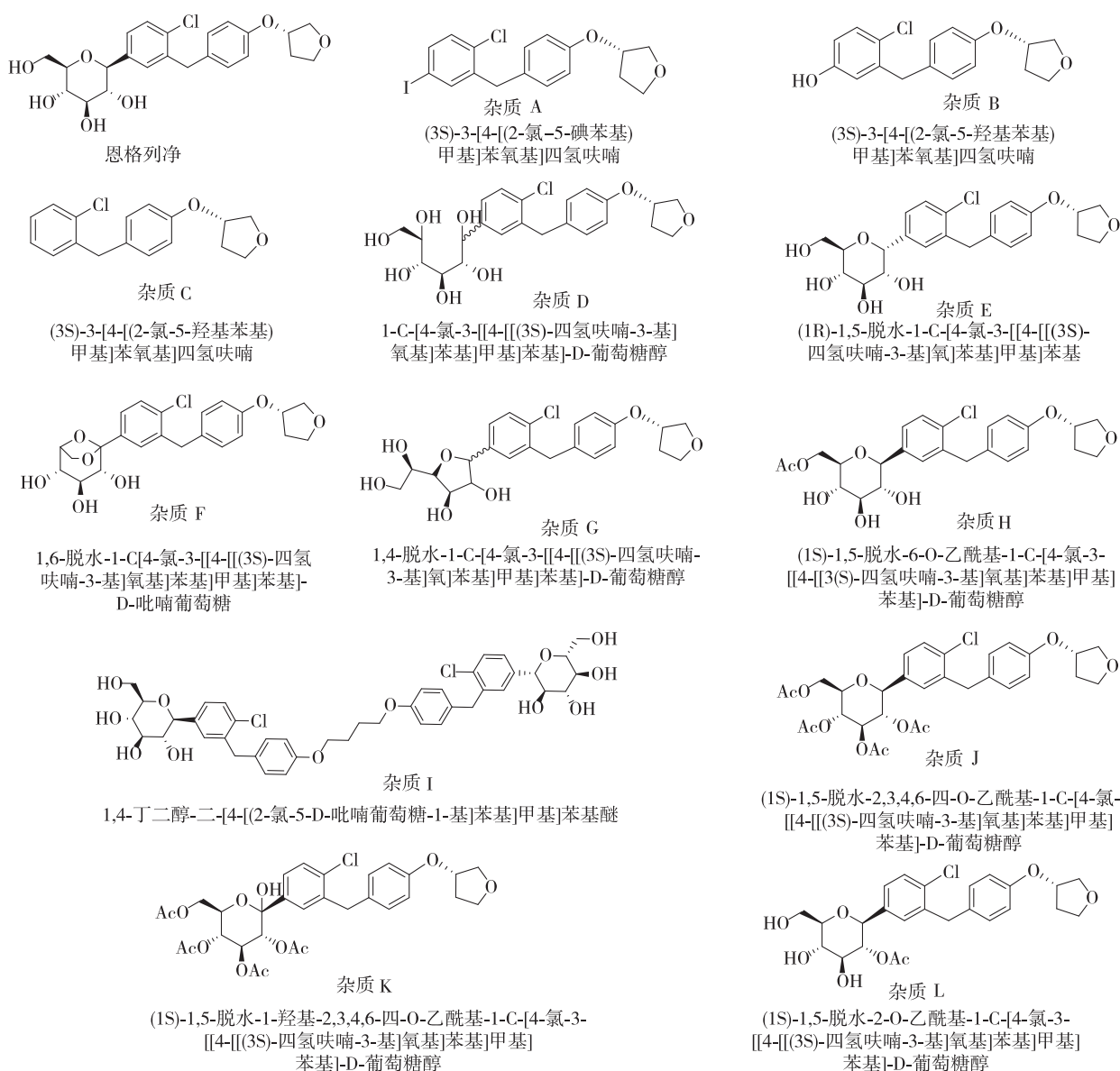


图1 恩格列净及有关物质的化学结构

Figure 1 Chemical structures of empagliflozin and its related substances

质和未知杂质的梯度高效液相色谱(HPLC)检测方法,结果表明该方法灵敏度高、重复性好、专属性强,可以作为恩格列净原料药生产工艺及质量的评价方法。

1 材料和方法

1.1 材料

恩格列净对照品(批号:S13110801,纯度99.8%)、杂质A(批号:S13101701,纯度99.6%)、杂质B(批号:S13082201,纯度98.0%)、杂质C(批号:S13072701,纯度99.5%)、杂质D(批号:S14081501,纯度94.3%)、杂质E(批号:S13071801,纯度99.8%)、杂质F(批号:S13071801,纯度:

96.7%)、杂质G(批号:S13071801,纯度99.5%)、杂质H(批号:S13082001,纯度96.6%)、杂质I(批号:S13082001,纯度96.5%)、杂质J(批号:S13080702,纯度99.6%)、杂质K(批号:S13090501,纯度96.2%)、杂质L(批号:S13082001,纯度83.0%);恩格列净原料药(批号:140301、140302、140303),以上对照品及供试品均由江苏奥赛康药业有限公司药物研究院提供。乙腈、甲醇为色谱纯,三氟乙酸为分析纯,水为纯化水,其他试剂均为分析纯。

Shimadzu LC-20A 高效液相色谱仪(岛津公司,日本);Thermo Ultimate 3000 高效液相色谱仪(戴安仪器公司,美国);CPA225D 电子分析天平(赛多利斯公司,德国)。

1.2 方法

1.2.1 色谱条件

Waters symmetry C18 (250 mm×4.6 mm, 5 μm) 为色谱柱, 以 0.01%(V/V) 三氟乙酸溶液为流动相 A, 乙腈为流动相 B, 梯度洗脱程序为 0~10 min, 流动相 B 32%; 10~50 min, 流动相 B 32%~95%; 检测波长为 225 nm, 流速 1.0 mL/min, 柱温 45℃。

1.2.2 溶液的制备

对照品储备液: 取恩格列净对照品及杂质 A~杂质 L 各 20 mg, 精密称定, 分别置 20 mL 量瓶, 加 50%(V/V) 甲醇溶液溶解并稀释至刻度, 摆匀, 即得。对照溶液: 精密量取供试品溶液 1 mL, 置 100 mL 量瓶中, 用 50%(V/V) 甲醇溶液稀释至刻度, 摆匀, 即得。供试品溶液: 取恩格列净原料药 20 mg, 精密称定, 置 20 mL 量瓶, 加 50%(V/V) 甲醇溶液溶解并稀释至刻度, 摆匀, 即得。

1.2.3 系统适用性试验

取恩格列净原料药约 100 mg, 精密称定, 置 100 mL 量瓶中, 分别加杂质对照品储备液各 1 mL, 用 50%(V/V) 甲醇溶液溶解并稀释至刻度, 摆匀, 作为系统适用性试验溶液。精密量取 10 μL, 注入液相色谱仪, 记录色谱图。

1.2.4 专属性

取恩格列净约 20 mg, 置 20 mL 量瓶中, 分别加入 1 mol/L 盐酸溶液 2 mL, 1 mol/L 氢氧化钠 2 mL, 置 85℃ 水浴加热 8 h, 取出冷却, 调至中性, 用 50%(V/V) 甲醇溶液稀释至刻度, 摆匀, 即得酸、碱降解样品; 取恩格列净原料药约 20 mg, 置 20 mL 量瓶中, 加 30% 过氧化氢溶液 2 mL, 室温放置 10 h, 用 50%(V/V) 甲醇溶液溶解并稀释至刻度, 即得氧化降解样品; 取恩格列净原料药约 20 mg, 加 50%(V/V) 甲醇溶解后, 置光照度为 (4 500±500) lux 的环境下放置 72 h, 并稀释至刻度, 摆匀, 即得光照降解样品; 另取恩格列净原料药约 20 mg, 置 105℃ 烘箱中加热 20 h, 取出放冷, 加 50%(V/V) 甲醇溶液溶解并稀释至 20 mL, 摆匀, 即得高温降解样品。量取上述溶液及供试品溶液各 10 μL, 分别进样测定。

1.2.5 检出限与定量限

取恩格列净对照品、杂质对照品溶液储备液, 分别用 50%(V/V) 甲醇溶液逐渐稀释至色谱峰信噪比(S/N) 约为 10:1 和 3:1, 所得溶液即为定量限溶液及检出限溶液。

1.2.6 线性关系考察

取恩格列净及杂质 A~K 对照品贮备液, 用 50%

(V/V) 甲醇溶液逐步定量稀释成 0.3~3.0 μg/mL 不同浓度的系列对照品混合溶液。精密量取 10 μL, 分别进样分析, 记录色谱图。以峰面积为纵坐标(Y), 浓度为横坐标(X), 进行线性回归, 得回归方程, 并根据标准曲线的斜率计算各已知杂质相对恩格列净的校正因子。

1.2.7 稳定性试验

取供试品溶液及对照溶液, 在室温下放置 0、2、4、6、8 h 后, 分别精密量取 10 μL 测定, 考察对照溶液主峰面积及供试品溶液各杂质峰面积的变化。

1.2.8 重复性试验

取恩格列净(批号:S13110801)适量, 平行制备 6 份供试品溶液和对照溶液, 分别进样测定, 如色谱图中存在上述已知杂质峰, 按加校正因子的自身对照法计算, 未知杂质峰按不加校正因子的自身对照法计算。

1.2.9 加样回收率试验

分别精密量取杂质对照品贮备液各 1 mL, 置 100 mL 量瓶中, 用 50%(V/V) 甲醇溶液稀释至刻度, 摆匀, 作为已知杂质对照品混合溶液。取恩格列净(批号:S13110801)10 mg, 精密称定, 置 10 mL 量瓶, 平行 9 份, 3 份为 1 组, 每组中分别加已知杂质对照品混合溶液 0.8、1.0 和 1.2 mL, 加 50%(V/V) 甲醇溶液溶解并稀释至刻度, 摆匀, 作为加样后的供试品溶液; 再精密量上述取供试品溶液各 1 mL, 分别置 100 mL 量瓶中, 用 50%(V/V) 甲醇溶液稀释至刻度, 摆匀, 作为对照溶液。分别精密量取 10 μL, 注入液相色谱仪, 记录色谱图。按加校正因子的自身对照法计算各已知杂质的回收率。

1.2.10 样品测定

取本品(批号:140301、140302、140303)适量配制成供试品溶液及对照溶液, 分别精密量取 10 μL, 进样测定。按加校正因子的自身对照法计算各已知杂质的含量, 按不加校正因子的自身对照法计算未知杂质的含量。

2 结 果

2.1 系统适用性

各杂质峰分离度均 >1.5, 理论塔板数均大于 2 000, 符合系统适用性要求, 结果见图 2。

2.2 专属性

本品在强酸、强碱、强光、强氧化剂及高温条件下, 均有较好的化学稳定性, 产生的降解产物均较少。各降解产物峰和恩格列净主峰能完全分离。采用二极管阵列检测器, 对各降解条件下的主峰进行峰纯度测定, 纯度因子均 >0.999, 表明本色谱条件下

主峰为单一峰，各已知杂质与主成份可有效分离。色谱图见图3。

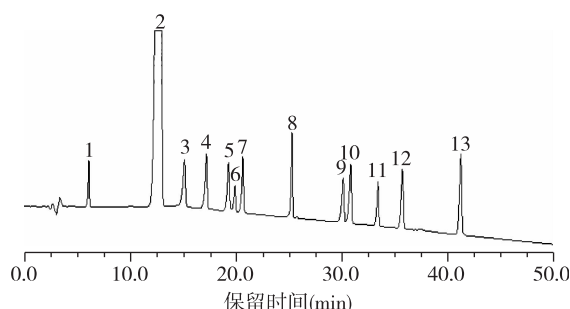
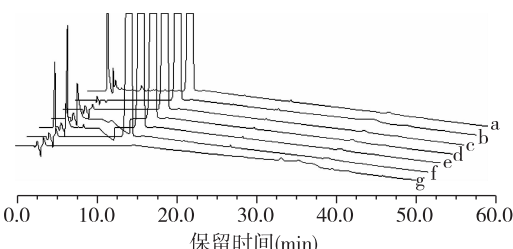


图2 恩格列净有关物质检查系统适用性试验色谱图
Figure 2 Chromatograph of system suitable test of related substances in empagliflozin



a: 氧化降解样品; b: 高温降解样品; c: 光照降解样品; d: 碱降解样品; e: 酸降解样品; f: 未破坏样品; g: 空白溶剂(blank solvent)。

图3 破坏性试验色谱图

Figure 3 Chromatogram of forced degradation test

2.3 其他验证结果

检出限与定量限:本法用于检测上述已知杂质的灵敏度良好(表1),各杂质的检出限均<9 ng/mL,定量限均<28 ng/mL。线性关系见表1。稳定性结果表明,在8 h内,各色谱峰面积均未发生显著变化,

表1 恩格列净及已知杂质的线性关系及灵敏度测定结果

Table 1 Linearity and sensitivity of empagliflozin and its impurity

名称	回归方程	相关系数r	范围(μg/mL)	定量限(μg/mL)	检出限(μg/mL)	校正因子
恩格列净	$Y=42.022X-77$	0.9995	0.30~3.02	0.0100	0.0030	-
杂质A	$Y=56.258X-1.240$	0.9998	0.32~3.22	0.0215	0.0064	0.75
杂质B	$Y=68.179X-325$	0.9996	0.29~2.88	0.0115	0.0035	0.62
杂质C	$Y=54.519X+1.403$	0.9996	0.33~3.31	0.0110	0.0033	0.77
杂质D	$Y=0.3096X+0.0085$	0.9998	0.50~2.50	0.0100	0.0030	1.05
杂质E	$Y=48.923X-577$	0.9996	0.37~3.70	0.0213	0.0064	0.86
杂质F	$Y=52.915X-446$	0.9995	0.29~2.93	0.0195	0.0059	0.79
杂质G	$Y=48.897X+113$	0.9995	0.33~3.33	0.0245	0.0074	0.86
杂质H	$Y=47.118X+505$	0.9995	0.30~3.00	0.0200	0.0060	0.89
杂质I	$Y=43.327X+172$	0.9995	0.32~3.16	0.0196	0.0059	0.97
杂质J	$Y=39.185X-68$	0.9998	0.30~2.97	0.0198	0.0059	1.07
杂质K	$Y=25.969X-264$	0.9998	0.33~3.29	0.0274	0.0082	1.62

供试品溶液和对照溶液的稳定性良好。重复性试验结果表明各杂质含量的相对标准差(RSD)均<5.0%,表明本法精密度良好。加样回收率结果表明各已知杂质的回收率范围均在88.6%~106.1%,RSD均<10%,准确度良好。

2.4 样品测定结果

样品测定见表2,3批样品中有关物质的已知杂质限度均<质控限(0.15%),未知杂质均小于鉴定限(0.1%)。

3 讨论

经过检索国内外文献,尚未发现有关本品的物质测定方法的报道,我们对比了甲醇-水、乙腈-水体系,并添加三氟乙酸改善峰形。采用梯度洗脱法提高杂质间的分离效果。在确定色谱条件下对各杂

表2 恩格列净原料药中有关物质的测定结果

Table 2 Determination of related substances in empagliflozin (%)

批号	140301	140302	140303
杂质A	低于检出限	低于检出限	低于检出限
杂质B	低于检出限	低于检出限	低于检出限
杂质C	低于检出限	低于检出限	低于检出限
杂质D	低于检出限	低于检出限	低于检出限
杂质E	低于检出限	低于检出限	低于检出限
杂质F	低于检出限	低于检出限	低于检出限
杂质G	低于检出限	低于检出限	低于检出限
杂质H	0.004	0.002	0.003
杂质I	0.023	0.016	0.020
杂质J	低于检出限	低于检出限	低于检出限
杂质K	低于检出限	低于检出限	低于检出限
杂质L	低于检出限	低于检出限	低于检出限
其他单杂	0.025	0.024	0.025
总杂质	0.076	0.058	0.067

质和恩格列净峰进行二极管阵列检测器扫描,结果表明杂质及主成份在223~227 nm范围内均有最大吸收峰,因此选择225 nm作为测定波长。

由于杂质L对照品较难获得高纯度的对照品,本试验所用对照品纯度为83.0%,仅适用于作为杂质定位使用,无法用于定量计算,故未对杂质L进行线性范围、校正因子及回收率研究。杂质L化学结构与恩格列净结构相似,推测应具有相近的吸收系数,可采用不加校正因子的自身对照法计算含量。样品检测结果表明,各批恩格列净原料药中杂质L均未检出,不影响结果的判断。

以上研究表明,所建立的方法适用于本品的有关物质测定。经过对3批样品的有关物质杂质谱进行对比研究,发现产品中仅有杂质H和杂质I被检出,其他已知杂质均未检出,表明本品的生产工艺对其他已知杂质有较好的去除效果。参照ICH对原料药已知杂质控制的指导原则^[9],建议将杂质H和杂质I作为已知杂质订入质量标准,质控限度为0.15%,其他已知杂质在本色谱条件下均可检出,可与未知杂质一并按自身对照法0.1%的限度进行控制。

[参考文献]

- [1] 陈本川. 治疗2型糖尿病新药——恩格列净(empagliflozin)[J]. 医药导报,2015,34(2):284-292
- [2] Scheen AJ. Drug-drug interactions with sodium-glucose

cotransporters type 2 (SGLT2)inhibitors,new oral glucoselowering agents for the management of type 2 diabetes mellitus[J]. Clin Pharmacokinet,2014,53(4):295-304

- [3] Scheen AJ. Pharmacokinetic and pharmacodynamic profile of empagliflozin, a sodium glucose co-transporter 2 inhibitor[J]. Clin Pharmacokinet,2014,53(3):213-225
- [4] 邹健,张艺,李晓苗. 钠-葡萄糖协同转运蛋白2抑制剂治疗2型糖尿病研究进展[J]. 山东医药,2016,56(12):104-107
- [5] Baker WL, Smyth LR, Riche DM, et al. Effects of sodium-glucose co-transporter 2 inhibitors on blood pressure: A systematic review and meta-analysis[J]. J Am Soc Hypertens,2014,8(4):262-275
- [6] 郝文静,张涛,黄华,等. HPLC法测定恩格列净片的有关物质[J]. 药物分析杂志,2016,36(5):902-910
- [7] Joseph CC, Regeling H, Zwanenburg B, et al. Syntheses of (3R,4R,5R,6R)-tetrahydroxyazepane (1,6-dideoxy-1,6-imino-D-mannitol) and (3S,4R,5R,6R)-tetrahydroxyazepane (1,6-dideoxy-1,6-imino-D-glucitol)[J]. Tetrahedron,2002,58(34):6907-6911
- [8] 宋金芝,王玉丽,徐为人. 新型钠-葡萄糖协同转运蛋白2抑制剂empagliflozin[J]. 现代药物与临床,2013,28(5):791-795
- [9] ICH Harmonized Tripartite Guideline: Impurities in new drug substances.Q3A[Z]. 2002

[收稿日期] 2016-06-01

(上接第87页)

- [8] Qin B, Cao YZ, Yang H, et al. MicroRNA-221/222 regulate ox-LDL-induced endothelial apoptosis via Ets-1/p21 inhibition[J]. Mol Cell Biochem,2015,405(1/2):115-124
- [9] Suo J, Zhao L, Wang J, et al. Influenza virus aggravates the ox-LDL-induced apoptosis of human endothelial cells via promoting p53 signaling[J]. J Med Virol,2015,87(7):1113-1123
- [10] Zhang Q, Ma A, Wang C, et al. Nifedipine inhibits ox-LDL-induced lipid accumulation in human blood-derived macrophages[J]. Biochem Biophys Res Commun,2015,457(3):440-444
- [11] Zhang Y, Ge C, Wang L, et al. Induction of DKK1 by ox-

LDL negatively regulates intracellular lipid accumulation in macrophages[J]. FEBS Lett,2015,589(1):52-58

- [12] Xu L, Wang SJ, Li BY, et al. A protective role of ciglitazone in ox-LDL-induced rat microvascular endothelial cells via modulating PPAR gamma-dependent AMPK/eNOS pathway[J]. J Cell Mol Med,2015,19(1):92-102
- [13] Narasimhulu CA, Selvarajan K, Brown M, et al. Cationic peptides neutralize ox-LDL, prevent its uptake by macrophages, and attenuate inflammatory response [J]. Atherosclerosis,2014,236(1):133-141

[收稿日期] 2016-03-15